

Министерство высшего и среднего специального образования
Р С Ф С Р

Ордена Трудового Красного Знамени
Научно-исследовательский радиофизический институт (НИРФИ)

Препринт № 119

МНОГОКРАТНОЕ РАССЕЯНИЕ ВОЛН
В ОДНОМЕРНОЙ СЛУЧАЙНО НЕОДНОРОДНОЙ СРЕДЕ

Б.С.Абрамович,
С.Н.Гурбатов,
Ю.А. Рыжов

г. Горький - 1978

1. Введение

Проблема многократного рассеяния волн в одномерных неупорядоченных системах вызывает интерес прежде всего возможностью получения ряда точных результатов. На примере одномерной структуры можно разобраться в деталях влияния многократного рассеяния на процесс распространения волн в рассеивающем слое и получить информацию, которая оказывается полезной при анализе более сложных моделей рассеивающих сред. Случай одномерных неоднородностей представляет и самостоятельный интерес, поскольку реализуется во многих физических ситуациях. В частности, является актуальной проблема описания энергетического спектра квантовых систем с примесями, электронный спектр которых близок к одномерному, исследование кинетики квантовой частицы в одномерном случайному потенциале и т.п.

[1 - 3].

Стochasticеское волновое уравнение изучалось многими авторами. При этом нетривиальные результаты были получены при изучении статистических свойств коэффициента отражения от слоя [4 - 6] и распределения среднего поля и средней интенсивности поля внутри неоднородного слоя для двух моделей рассеивающей среды - дискретной [4] и непрерывной [6]. В первой модели среда предполагается состоящей из дискретных неоднородностей, каждая из которых может равномерно принимать все положения на отрезке, длина которого кратна длине волны. Такая модель рассматривалась в [4], где показано, что при неограниченном

"усилении" неоднородностей распределение среднего квадрата поля стремится к удвоенной интенсивности падающей волны в половине слоя, обращенной к падающей волне, и к нулю – в другой половине" – ступенчатое распределение. К аналогичному результату приходит и автор работы [7] где рассмотрение проводится для модели непрерывной среды в диффузионном приближении.

Настоящая работа посвящена дальнейшему изучению статистических свойств поля в одномерной сплошной случайно неоднородной среде. Рассматриваются две постановки задачи: о прохождении плоской гармонической волны через рассеивающий слой и о падении волны на неоднородный слой, ограниченный идеально отражающей поверхностью (зеркалом). Для решения поставленных задач выводятся укороченные стохастические уравнения для медленно меняющихся на интервале порядка длины волны энергетических и фазовых характеристик поля внутри слоя.

Показано, что в задаче о прохождении волны через слой энергетические характеристики волны, в частности, интенсивность, не являются марковским процессом, что не позволяет непосредственно применить аппарат уравнения ЭФПК [8, 9]. Однако, используя двухточечное вероятностное распределение локального коэффициента отражения, удается найти функцию распределения интенсивности, с помощью которой вычисляется распределение среднего квадрата поля в слое. Приводится асимптотическое разложение средней интенсивности в оптически толстой рассеивающей среде, откуда следует, что при увеличении оптической толщины слоя распределение среднего квадрата поля стремится не к ступенчатому, а к все более плавному.

При рассмотрении задачи об отражении плоской волны от слоя с зеркалом на границе укороченные уравнения позволяют весьма детально исследовать статистические характеристики поля внутри слоя. Показано, что при идеальном отражении от задней границы слоя интенсивность

I_0 , усредненная по периоду высокочастотных осцилляций поля, является марковским процессом, имеющим логарифмически-нормальную плотность вероятности. При этом средняя интенсивность не меняется вдоль слоя и равна I_0 – удвоенной интенсивности падающей волны, в то время

как само вероятностное распределение по мере проникновения волны в слой локализуется в области малых интенсивностей $I \ll I_0$. Однако, несмотря на то, что вероятность появления больших интенсивностей мала, из-за медленного спадания функции плотности вероятности при $I \gg I_0$, возможен эффект значительного усиления поля в нерегулярном слое. В частности, именно наличие отдельных реализаций с $I \gg I_0$ приводит к постоянству среднего квадрата поля, к сильным флуктуациям интенсивности и полной энергии, сосредоточенной в рассеивающей среде. В то же время показано, что относительное число реализаций, в которых возможен эффект усиления поля, т.е. превышение случайной интенсивностью заданного уровня $I^* > I_0$ даже в бесконечном слое равно $I_0 / I^* < 1$ и уменьшается с ростом порога I^* .

2. Вывод основных соотношений

Пусть плоская гармоническая волна единичной амплитуды $E_0 = e^{ikz}$, $k = \omega/c$ падает справа на слой $(0, L)$ с флюктуирующей диэлектрической проницаемостью $\epsilon(z) = 1 - \Delta\epsilon(z)$. Предположим, что случайная компонента диэлектрической проницаемости $\Delta\epsilon(z)$ является нормальным случайным процессом с нулевым средним значением и функцией корреляции $\langle \Delta\epsilon(z) \Delta\epsilon(z') \rangle = -\sigma^2 \delta(z - z')$ ($\delta(z)$ – характерный размер неоднородностей, $\delta(z)$ – дельта-функция), а диэлектрическая проницаемость окружающей среды равна единице.

Внутри слоя для поля $E_x = E$ волны имеем стохастическое волновое уравнение

$$E_{\xi}'' + [1 - \Delta\epsilon(\xi)] E = 0, \quad (1)$$

где введена безразмерная координате $\xi = k z$. Решение уравнения (1) будем искать в виде:

$$E = P(\xi) e^{i\xi} + Q(\xi) e^{-i\xi}. \quad (2)$$

Легко убедиться, что (2) является решением уравнения (1), если функции $P(\xi)$ и $Q(\xi)$ удовлетворяют системе уравнений первого порядка:

$$\begin{aligned} P'_{\xi} &= -\frac{i}{2} \Delta \epsilon (P + Q e^{-2i\xi}), \\ Q'_{\xi} &= \frac{i}{2} \Delta \epsilon (Q + P e^{2i\xi}). \end{aligned} \quad (3)$$

Границные условия для функций $P(\xi)$ и $Q(\xi)$, вытекающие из требования непрерывности поля и его производной на границах нерегулярного слоя, имеют вид:

$$P(kL) = 1, \quad Q(0) = \lambda P(0), \quad (4)$$

где $\lambda = 0$ в задаче о прохождении волны и $\lambda = 1$, если в плоскости $\xi = 0$ находится идеально отражающая поверхность — зеркало.

Введем в рассмотрение новые переменные:

$$I = |P|^2 + |Q|^2, \quad S = 2|PQ|, \quad \psi = \arg(QP^{-1}),$$

для которых из (3) получаем:

$$I'_{\xi} = \Delta \epsilon S \sin \psi, \quad (5)$$

$$S'_{\xi} = \Delta \epsilon I \sin \psi, \quad (6)$$

$$\psi'_{\xi} = \Delta \epsilon (1 + IS^{-1} \cos \psi), \quad (7)$$

где $\Psi = \psi - 2\xi$. В этих переменных для квадрата модуля электрического поля в среде справедливо следующее выражение:

$$|E|^2 = I + S \cos \Psi,$$

откуда виден физический смысл величин $I(\xi)$ и $S(\xi)$:
 I есть суммарная интенсивность встречных волн, а член $S \cos \psi$ описывает их интерференцию⁺.

Очевидно, что уравнения (3) с условиями (4) и вытекающие из них уравнения (5)–(7) образуют краевую задачу, не обладающую причинностью, и поэтому для вероятностного анализа процессов $P(\xi)$ и $Q(\xi)$, а вслед за ними и $I(\xi)$, $S(\xi)$, $\psi(\xi)$, на основе диффузионного уравнения необходимо сформулировать соответствующую уравнениям (3) и (5)–(7) одноточечную задачу. В силу линейности уравнений (3) и уравнений (5), (6) последнее тривиально и делается следующим образом: введем функции $\tilde{P}(\xi) = P(\xi)/P(0)$, $\tilde{Q}(\xi) = Q(\xi)/P(0)$ и, соответственно, $\tilde{I}(\xi) = I(\xi)/|P(0)|^2$, $\tilde{S}(\xi) = S(\xi)/|P(0)|^2$. Легко видеть, что \tilde{P} и \tilde{Q} удовлетворяют уравнениям (3), а \tilde{I} и \tilde{S} удовлетворяют уравнениям (5), (6) не меняя уравнения (7) для $\psi(\xi)$. При этом граничные условия задаются в одной точке $\xi = 0^{++}$:

$$\tilde{P}(0) = 1, \quad \tilde{Q}(0) = \lambda \quad (8)$$

и

$$\tilde{I}(0) = 1 + \lambda^2, \quad \tilde{S}(0) = 2|\lambda|, \quad \psi(0) = \arg \lambda. \quad (9)$$

Последнее обеспечивает причинность при изменении вели-

⁺) Заметим, что интерпретация величин P и Q , как комплексных амплитуд встречных волн в неоднородной среде, носит весьма условный характер.

⁺⁺) В случае, когда среды в среднем "согласованы" ($\lambda = 0$) $\psi(0) = \arg \lambda = \pi/2$, что следует из принципа предельного поглощения.

чин $\tilde{P}(\xi)$, $\tilde{Q}(\xi)$, $\tilde{I}(\xi)$, $\tilde{S}(\xi)$, $\Psi(\xi)$, что позволяет стандартными методами диффузионного приближения исследовать статистические свойства этих процессов.

Легко видеть, что при относительно небольших флюктуациях диэлектрической проницаемости $\Delta \epsilon < 1$ комплексные амплитуды P , \tilde{P} и Q , \tilde{Q} , а вслед за ними и функции I , \tilde{I} , S , \tilde{S} и $\Psi(\xi)$ медленно изменяются на интервале $\Delta \xi \sim 1$ (т.е. при изменении координаты ξ на величину порядка длины волны). С другой стороны, функции $\exp(\pm 2i\xi)$ и $\Delta \epsilon(\xi)$ являются быстропеременными. Поэтому естественно перейти от уравнений (5)–(7) к укороченным уравнениям, усредненным за период функций $\exp(\pm 2i\xi)$ (см., например, [9]). Для получения укороченных уравнений нужно предварительно вычислить средние значения и корреляционные функции случайных процессов, входящих в правые части уравнений (5)–(7). Обозначим

$$\mu(\xi) = \Delta \epsilon(\xi) \sin \Psi(\xi).$$

Если бы в этом выражении фаза $\Psi(\xi)$ была фиксированной величиной, то среднее значение $\langle \mu \rangle$ и корреляционная функция $B_\mu = \langle \mu(\xi) \mu(\xi') \rangle$ находились бы просто. Однако из уравнения (7) видно, что фаза $\Psi(\xi)$ получается в результате интегрирования белого шума $\Delta \epsilon(\xi)$ и, следовательно, коррелирована с ним.

Рассмотрим достаточно малый интервал $\xi - \xi' > 0$, на котором функции $\tilde{I}(\xi)$, $\tilde{S}(\xi)$ и $\Psi(\xi)$ не успевают заметно измениться. Ограничивааясь учетом первых членов разложения в ряд по $\Delta \Psi(\xi) = \Psi(\xi) - \Psi(\xi - \xi')$ и учитывая статистическую независимость величин $\tilde{I}(\xi - \xi')$, $\tilde{S}(\xi - \xi')$ и $\Psi(\xi - \xi')$ от значений $\Delta \epsilon(\xi)$, получаем:

$$\langle \mu(\xi) \rangle = \langle \Delta \epsilon(\xi) \Delta \Psi(\xi) \rangle \cos \Psi(\xi).$$

Для вычисления $\langle \Delta \epsilon(\xi) \Delta \Psi(\xi) \rangle$ воспользуемся уравнением (7), проинтегрировав его на интервале $[\xi - \xi', \xi]$.

Используя δ -коррелированность процесса $\Delta \epsilon(\xi)$ и отбрасывая в полученных выражениях осциллирующие члены, окончательно получаем:

$$\langle \mu(\xi) \rangle = \frac{\alpha}{k} \frac{\tilde{I}}{\tilde{S}} = \frac{\alpha}{k} \frac{I}{S} \quad (10)$$

Здесь $\alpha = \frac{1}{4} S_\xi^2 k^2 l$ — коэффициент диффузии для слоя с мелкомасштабными неоднородностями, $k l \ll 1$.

Введем центрированную случайную функцию:

$$\zeta(\tau_\xi) = \alpha^{-1} [\mu(\tau_\xi) - \langle \mu(\tau_\xi) \rangle].$$

где $\tau_\xi = \alpha \xi$ — оптическая толщина. Очевидно, что $\langle \zeta(\tau_\xi) \rangle = 0$, а функция корреляции

$$B_\zeta = 2 \delta(\tau_\xi - \tau'_\xi).$$

Подставляя полученные выражения в формулы (5) и (6), приходим к следующей системе стохастических уравнений для медленно меняющихся функций $\tilde{I}(\tau_\xi)$, $\tilde{S}(\tau_\xi)$, а, следовательно, и для $I(\tau_\xi)$, $S(\tau_\xi)$:

$$I'_{\tau_\xi} = I + S \zeta(\tau_\xi), \quad (11)$$

$$S'_{\tau_\xi} = I [I S^{-1} + \zeta(\tau_\xi)]. \quad (12)$$

Аналогичным образом из (7) получаем:

$$\varphi'_{\tau_\xi} = (2 + I^2 S^{-2})^{1/2} \tilde{\zeta}(\tau_\xi), \quad (13)$$

+)
При произвольном соотношении между длиной волны k^{-1} и масштабом неоднородностей l коэффициент диффузии равен $\alpha = 1/4 k^2 \Phi_\xi(2k)$, где Φ_ξ — спектр пространственных неоднородностей $\Delta \epsilon(z)$. Появление спектра на удвоенной пространственной гармонике физически связано с известным условием Брэгга для дифракции на пространственных структурах.

$$\text{где } \langle \tilde{\zeta}(\tau_z) \rangle = 0, \quad B_{\tilde{\zeta}} = 2 \delta (\tau_z - \tau'_z), \\ \langle \tilde{\zeta}(\tau_z) \tilde{\zeta}(\tau'_z) \rangle = 0.$$

Легко видеть, что уравнения (11), (12) имеют интеграл:

$$I^2 - S^2 = \text{const}, \quad (14)$$

соответствующий сохранению потока мощности в диэлектрике без потерь.

Величина $U = \frac{c}{8\pi} I$ представляет собой усредненную по высокочастотным осцилляциям плотность энергии волны в слое. Ниже исследуются статистические свойства процесса $I(\tau_z)$ для задачи о прохождении волны через слой с неотражающей задней границей и о падении волны на слой с полным отражением на дальней границе.

3. Прохождение волны через неоднородный слой

В задаче о прохождении волны через рассеивающий слой граничными условиями для $I(\tau_z)$, $S(\tau_z)$, удовлетворяющими уравнениям (11), (12), являются, как следует из (4) и (14), следующие соотношения:

$$S(0) = 0, \quad I(\tau_L) = 1 + \frac{S^2(\tau_L)}{4}, \quad (15)$$

в то время как для $\tilde{I}(\tau_z)$, $\tilde{S}(\tau_z)$, удовлетворяющих той же системе уравнений (11), (12), мы имеем одноточечную задачу (9). Таким образом, используя двухточечное вероятностное распределение двумерного марковского процесса (\tilde{I}, \tilde{S}) можно определить вероятностные характеристики I и S . Эквивалентным образом к одноточечной задаче можно перейти непосредственно от уравнений (11), (12) для I и S с двухточечными условиями (15). Для этого введем еще процесс $V(\tau_z)$:

+) Заметим, что величина $\rho = th v/2$ есть модуль локального коэффициента отражения в слое $\rho = |Q|/|P|$ [10].

$$v = \operatorname{Arcth} (15^{-1}) , \quad (16)$$

для которого из (11), (12) следует:

$$\frac{v'}{\tau_z} = \operatorname{cth} v + \zeta(\tau_z), \quad v(0) = 0. \quad (17)$$

Уравнение (17) является дифференциальным уравнением первого порядка с граничным условием при $\tau_z = 0$ и, следовательно, статистические характеристики процесса $v(\tau_z)$ могут быть описаны в приближении диффузионного случайного процесса [8].

Используя соотношения (14)–(16), находим, что энергетические характеристики волны в слое определяются следующими выражениями:

$$I = \frac{ch v(\tau_z)}{ch^2 v(\tau_L)/2}, \quad S = \frac{sh v(\tau_z)}{ch^2 v(\tau_L)/2}. \quad (18)$$

Таким образом, функция плотности вероятности процесса $I = I(\tau_z, \tau_L)$ и $S = S(\tau_z, \tau_L)$ определяется двухточечной функцией распределения марковского процесса $v(\tau_z)$.

Так как процесс $v(\tau_z)$ – марковский, то для нахождения функции плотности вероятности $W_2(v_{\tau_z}; v_{\tau_L}; \tau_z, \tau_L)$ необходимо решить следующую краевую задачу:

$$\frac{\partial W}{\partial \tau} = - \frac{\partial}{\partial v} \operatorname{cth} v \cdot W + \frac{\partial^2 W}{\partial v^2}, \quad (19)$$

$$W(v; \bar{v}, \tau = 0) = \delta(v - \bar{v}), \quad |W(v; \bar{v}, \tau)| < \infty.$$

Уравнение (19) является уравнением ЭФПК для плотности вероятности перехода марковского процесса $v(\tau_z)$. При этом

$$W_2 = W(v_{\tau_z}; 0, \tau_z) W(v_{\tau_L}; v_{\tau_L} - \tau_z, \tau_z). \quad (20)$$

Решение задачи Коши (19) представляется интегралом Мелера-Фока [13]

$$W(v; \bar{v}, \tau) = \operatorname{sh} v \int_0^\infty dt \cdot t \cdot \operatorname{th} \pi t \cdot P_{\frac{1}{2}} + i t (\operatorname{ch} v) P_{\frac{1}{2}} + i t (\operatorname{ch} \bar{v}) e^{-\tau(t^2 + \frac{1}{4})}, \quad (21)$$

где $P_\nu(u)$ – функция Лежандра первого рода.

Подставляя (21) в (20) и производя усреднение в формуле (18), после соответствующих преобразований получаем выражение для распределения средней интенсивности в рассеивающем слое:

$$\langle I(\tau_z, \tau_L) \rangle = 2\pi e^{\tau_z - \tau_L/4} \int_0^\infty dt \cdot t \frac{\operatorname{sh} 3t}{\operatorname{ch}^2 \pi t} \left(\cos 2\tau_z t + \frac{\sin 2\tau_z t}{2t} \right) e^{-\tau_L t^2}. \quad (22)$$

Этот результат иным способом был получен в работах [4], [7].

Проанализируем характер распределения средней интенсивности в оптически толстом слое $\tau_L \gg 1$. Прежде всего заметим, что интеграл (22) не имеет равномерной асимптотики при $\tau_L \rightarrow \infty$. Однако вблизи середины слоя, когда удовлетворяется неравенство $|1 - 2\tau_z/\tau_L| < 1$, из (22) можно получить при $\tau_L \gg 1$:

$$\langle I(\tau_z, \tau_L) \rangle = 1 - \Phi(\Delta). \quad (23)$$

Здесь $\Delta = \frac{1}{2} \tau_L^{1/2} (1 - 2\tau_z/\tau_L)$, $\Phi(\Delta)$ – интеграл вероятности [13]. Из (23), в частности, следует:

$$\frac{\partial^n \langle I \rangle}{\partial \tau_z^n} = \frac{2}{\sqrt{\pi}} \tau_L^{-n/2} e^{-\Delta^2} H_{n-1}(\Delta), \quad n \geq 1,$$

где $H_n(\Delta)$ – полиномы Эрмита. Следовательно, при увеличении размеров рассеивающей среды распределение средней интенсивности становится все более плавным (см. рис. 1а). В связи с этим следует отметить, что вывод авторов работ [4, 7] о том, что в оптически толстом слое

($\tau_L \gg 1$) реализуется "ступенчатое" распределение средней интенсивности, справедлив лишь в безразмерных координатах $\theta = \tau_z / \tau_L$. Реально же характерная ширина переходной области $\langle I(\tau_z, \tau_L) \rangle$ в середине слоя $\delta = (\partial \langle I \rangle / \partial \tau_z)_{\Delta=0}^{-1}$ увеличивается пропорционально $\tau_L^{1/2}$.

Наконец, обратим внимание на одно интересное обстоятельство. Интерференционный член $S \cos \psi$ в формуле для $|E|^2$ при усреднении по ансамблю реализаций выпадает, так что $\langle |E|^2 \rangle = \langle I \rangle$. Соотношение $\langle S \cos \psi \rangle = 0$ связано с тем, что при отсутствии отражения на границах слоя ($S(0) = 0$) процессы S и ψ статистически независимы, а фаза $\psi(\tau_z)$ имеет равномерное распределение. Последнее, в частности, приводит к качественному отличию рассеяния волны в среде без отражения на границе от рассмотренного в следующем разделе случая падения плоской волны на слой с полным отражением.

4. Флуктуации интенсивности в слое, ограниченном зеркалом

В случае, если в плоскости $z = 0$ находится идеально отражающая поверхность, разность потоков падающей и отраженной волн равна нулю, следовательно, $I = S$ и из (11), (12) получаем следующее уравнение для стохастической интенсивности:

$$I'_\tau = [-1 + \zeta(\tau)] I. \quad (24)$$

Здесь мы перешли к новой переменной $\tau = \tau_L - \tau_z$, соответствующей отсчету от "входа" в неоднородную среду. Уравнение (24) следует решать с граничным условием:

$$I(0) = I_0, \quad (25)$$

где I_0 — удвоенная интенсивность падающей волны.

Поскольку уравнение (24) является дифференциальным уравнением первого порядка по τ с начальным условием (25) при $\tau = 0$, то процесс $I(\tau)$ является марковским. Подчеркнем, что последнее утверждение справедливо лишь для медленной компоненты полной интенсивности волны, распространяющейся в слое со случайными неоднородностями при идеальном отражении от задней границы. Следует при этом отметить, что статистика интенсивности

$I(\tau)$ не зависит от полной толщины слоя τ_L , а определяется лишь расстоянием τ от "входа" в случайно неоднородную среду.

Учитывая статистические свойства процесса $\xi(\tau)$ из (24) и (25) легко получить, что $I(\tau)$ имеет логарифмически-нормальное распределение:

$$W(I, \tau) = \frac{I^{-1}}{2\sqrt{\pi}\tau} \exp \left\{ -\frac{\left(\ln \frac{I}{I_0} + \tau \right)^2}{4\tau} \right\}. \quad (26)$$

Используя вероятностное распределение (26), легко найти среднюю интенсивность в слое $\langle I(\tau) \rangle$ и величину относительных флуктуаций интенсивности $\gamma_I(\tau) =$

$$- [\langle (I - \langle I \rangle)^2 \rangle]^{1/2} / \langle I \rangle : .$$

$$\langle I(\tau) \rangle = I_0, \quad \gamma_I(\tau) = (e^{2\tau} - 1)^{1/2}. \quad (27)$$

Таким образом, средняя интенсивность волны в слое постоянна, а флуктуации интенсивности неограниченно возрастают по мере увеличения τ — расстояния от входа в случайно неоднородную среду. В то же время из (26) следует, что с увеличением τ максимум распределения $W(I, \tau)$ смещается в сторону меньших интенсивностей $I_m = I_0 \exp(-3\tau)$, причем при $\tau \gg 1$ практически все распределение $W(I, \tau)$ сосредоточено в области малых интенсивностей $I \ll I_0$ (см. рис. 2).

Сохранение средней интенсивности в слое, несмотря на то, что при $\tau \gg 1$ вероятностное распределение сосредоточено вблизи нулевой интенсивности, обусловлено достаточно медленным спаданием функции распределения

$W(1, \tau)$ при $1 \rightarrow \infty$. Последнее соответствует тому, что в редких реализациях квадрат поля волны $|E|^2$ может принимать большие значения, в том числе возможны реализации, в которых $I(\tau) \gg I_0$. Наличие подобных реализаций процесса приводит к сильным флуктуациям плотности энергии волны $\bar{I}^L = \tau_L^{-1} \int_0^{\tau_L} I(\tau) d\tau$ в оптически толстом слое:

$$\gamma_{\bar{I}^L} = 2^{-1/2} \tau_L^{-1} (e^{2\tau_L} - 1 - 2\tau_L - 2\tau_L^2)^{1/2}.$$

Таким образом, можно сделать следующий вывод; при распространении волны в случайно неоднородном слое, ограниченном зеркалом, в отдельных, достаточно редких реализациях может сосредоточиваться значительная энергия, существенно превышая величину $I_0 L$ — энергию волны в регулярном слое.

Важной характеристикой флуктуаций интенсивности $I(\tau)$ является вероятностное распределение $\tilde{w}(\tau; I^*, I_0)$ оптического пути τ , на котором интенсивность достигает заданного уровня $I(\tau) = I^*$. При этом более удобно рассматривать эквивалентную задачу о достижении логарифмом нормированной интенсивности $q = \ln I/I_0$ соответствующего значения. $q^* = \ln I^*/I_0$.

Поскольку марковский процесс $q(\tau)$ описывается уравнением

$$\dot{q}_\tau = -1 + \zeta(\tau), \quad q(0) = q_0 = 0, \quad (28)$$

то плотность вероятности $w(\tau, q^*)$ "времени" τ первого достижения границы $q = q^*$ удовлетворяет уравнению [9]:

$$\frac{\partial w}{\partial \tau} = \frac{\partial}{\partial q_0} \left(\frac{\partial w}{\partial q_0} - w \right) \quad (29)$$

с начальными и граничными условиями:

$$w(\tau, q^*)_{q_0=q^*} = \delta(\tau), \quad w(0, q^*) = 0, \quad (30)$$

$$w(\tau, q^* < 0)_{q_0=\infty} = w(\tau, q^* > 0)_{q_0=-\infty} = 0.$$

Решение уравнения (29), удовлетворяющее условиям (30), имеет вид:

$$w(\tau, q^*) = \frac{|q^*|}{2\sqrt{\pi}} \tau^{-3/2} \exp\left\{-\frac{(q^* + \tau)^2}{4\tau}\right\}. \quad (31)$$

Вероятность достижения процессом $I(\tau)$ уровня $I = I^*$ в слое оптической толщины τ определяется функцией $\Psi_\tau(q^*) = \int_0^\tau d\tau' w(\tau', q^*)$, график которой приведен на рис. 3. При этом для бесконечного слоя из (31) получаем

$$\Psi_\infty = \begin{cases} 1, & I^* < I_0, \\ I_0/I^*, & I^* > I_0. \end{cases} \quad (32)$$

Из (32) следует, что в бесконечном слое все реализации интенсивности пересекают уровень $I^* < I_0$, в то время как уровня $I^* > I_0$ достигает лишь часть реализаций, тем меньшая, чем больше отношение I_0/I^* .

Для среднего "времени" $T = \Psi_\infty^{-1} \int_0^\infty d\tau' \tau' w(\tau', q^*)$ достижения значения $I(\tau) = I^*$ в бесконечном слое, используя (31), получаем:

$$T = \left| \ln \frac{I_0}{I^*} \right|. \quad (33)$$

Заметим, что в случае $I_0 < I^*$, когда в силу (32) $\Psi_\infty < 1$, формула (33) описывает условное среднее "время" достижения интенсивности I^* в классе реали-

заций, пересекающих данный уровень.

Полученные результаты несложно обобщить, учитывая интерференционный член в выражении для $|E|^2$:

$$|E|^2 = I (1 + \cos \Psi). \quad (34)$$

В частности, из (34) следует (см. рис. 1б):

$$\langle |E|^2 \rangle = I_0 (1 - \cos 2kz e^{-3\alpha z}). \quad (35)$$

При получении (35) использовалась статистическая независимость марковских процессов $I(\tau)$ и $\Psi(\tau_z)$, а также вытекающее из уравнения (13) при $I = S$ нормальное вероятностное распределение фазы $\Psi(\tau_z)$. Естественно, усредняя (35) по периоду высокочастотных осцилляций k^{-1} , мы получаем формулу (27). Заметим, что при $\tau_z \gg 1$ неусредненный на масштабе k^{-1} средний квадрат поля $\langle |E|^2 \rangle \approx I_0$. Последнее связано с тем, что многократное рассеяние встречных волн $P(\tau_z)$ и $Q(\tau_z)$ приводит к их фазовому рассогласованию и, следовательно, к отсутствию интерференции.

5. Заключение

В настоящей работе в диффузионном приближении исследовалось распространение плоской электромагнитной волны в диэлектрике с одномерными случайнymi неоднородностями. Рассмотрение проводилось на основе укороченных уравнений для усредненных по периоду высокочастотных осцилляций поля энергетических и фазовых характеристик волны. Однако, те же результаты могут быть получены, если развивать статистическое описание исходя из точных (неусредненных на масштабе k^{-1}) уравнений, и лишь в полученных выражениях, в частности, в уравнении ЭФПК проводить высокочастотное усреднение [10].

Рассмотрение двух постановок задачи о распростра-

нении волны в нерегулярном слое – отсутствие отражения на границе слоя и полное отражение волны на дальней границе (слой с зеркалом на конце) – связано с принципиальной разницей характера многократного рассеяния волны в этих случаях, так как при многократном рассеянии фазовые соотношения играют определяющую роль. Последнее проявляется в том, что идеальное отражение на границе рассеивающей среды приводит к синхронизации фаз встречных волн вблизи отражающей поверхности и к отсутствию потока мощности в среде. Вследствие этого средняя интенсивность волны не меняется вдоль слоя, и вблизи отражающей границы возникает устойчивая в среднем интерференционная картина (35).

Отсутствие же регулярного отражения на границе слоя приводит к равномерному распределению локальной разности фаз встречных волн и к появлению потока мощности в среде. Это обстоятельство существенно оказывается на распределении средней интенсивности волны в рассеивающем слое (см. рис. 1) и приводит к отсутствию в среднем интерференции встречных волн, т.е. $\langle |E|^2 \rangle = \langle I \rangle$.

Проведенное рассмотрение может быть обобщено учтотом малой диссипации в слое. При этом добавляется еще одно укороченное уравнение, описывающее эволюцию потока мощности в неоднородном диэлектрике с потерями. Аналитические результаты, помимо стационарного распределения коэффициента отражения [11, 12], получить довольно трудно, поскольку решение соответствующей уравнению ЭФПК краевой задачи выражается через мало изученные сфероидальные и кулоновские сфероидальные функции [10].

Авторы признательны Н.Г. Денисову за стимулирующие дискуссии.

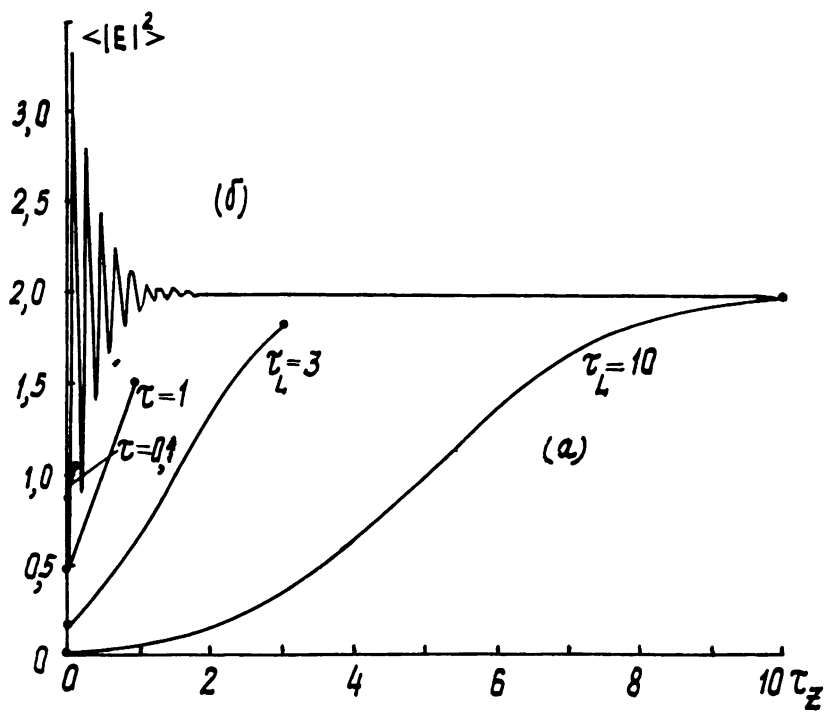


Рис. 1

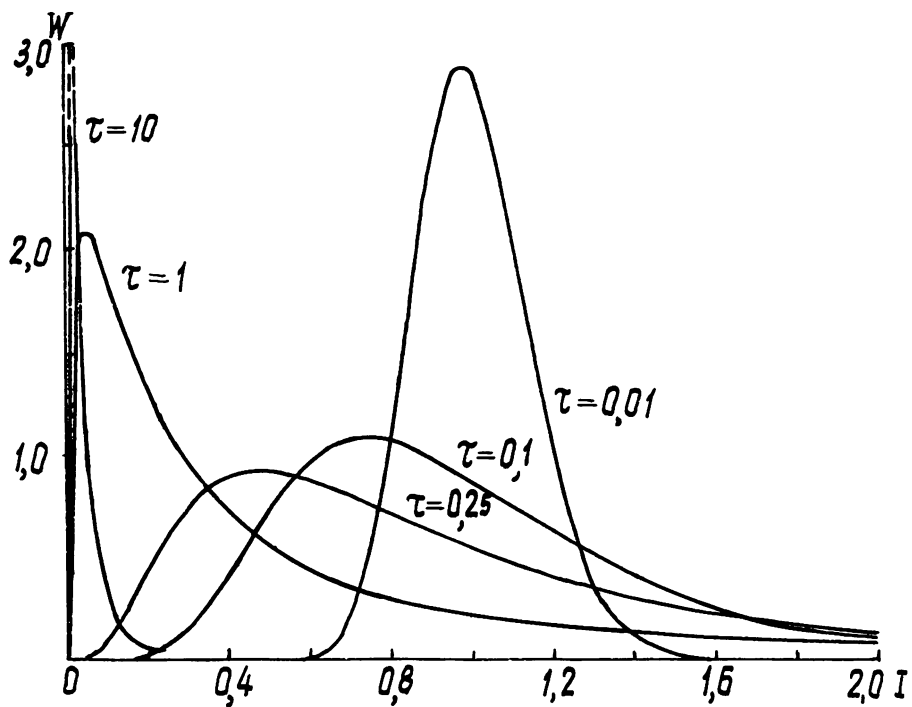


Рис.2

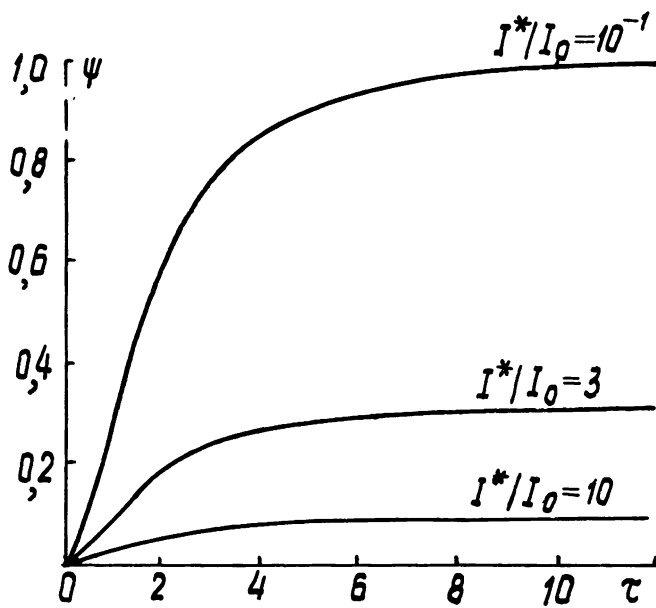


Рис.3

ПОДПИСИ К РИСУНКАМ

Рис. 1. Распределение среднего квадрата поля $\langle |E|^2 \rangle$ внутри рассеивающего слоя при различных значениях оптической толщины слоя τ_L : (а) – слой без регулярного отражения от границы, (б) – слой с зеркалом на конце ($I_0 = 2$).

Рис. 2. Эволюция функции распределения интенсивности $W(I, \tau)$ для слоя с зеркалом ($I_0 = 2$).

Л И Т Е Р А Т У Р А

1. Ю.А.Бычков. ЖЭТФ, 65, 427, 1973.
2. В.Л.Березинский. ЖЭТФ, 65, 1251, 1973.
3. R.J.Elliott, J.A.Krumhansl, P.L.Leath. Rev.Mod.Phys., 46, 465, 1974.
4. Ю.Л.Газарян. ЖЭТФ, 56, 1856, 1969.
5. G.Papanicolaou. SIAM J.Appl.Math., 21, 13, 1971.
- 6.Yu.A.Ryshov. Rad.Sci., II, 121, 1976.
7. R.H.Lang. J.Math.Phys., I4, 1921, 1973.
8. В.И.Кляцкин, В.И.Татарский. УФН, 110, 499, 1973.
9. В.И.Тихонов, М.А.Миронов. Марковские процессы, "Сов.радио", 1977.
10. Б.С.Абрамович, Ю.А.Рыжов. УП Всесоюзный симпозиум по дифракции и распространению волн (г.Ростов-на Дону), краткие тексты докладов, 1, 311, 1977.
11. Б.С.Абрамович, А.А.Дятлов. Изв. высш. уч.зав.-Радиофизика, 18, 1122, 1975.
12. В.И.Кляцкин, В.И.Татарский. Изв. высш.уч. зав. Радиофизика, 20, 1040, 1977.
13. Н.Н.Лебедев. Специальные функции и их приложения, Физматгиз, М.-Л., 1963.